

· 经验交流 ·

自制外耳道异物钩取外耳道球形异物 63 例

邓海珊¹, 杨亚丽¹, 侯云武²

(1. 陕西省汉中市人民医院 耳鼻咽喉科, 陕西 汉中 723000; 2. 陕西省勉县医院 耳鼻咽喉科, 陕西 勉县 723000)

关键词: 自制; 外耳道; 异物钩; 球形异物

中图分类号: R764.9; R764.8 文献标识码: C 文章编号: 1007-1520(2011)04-0310-02

外耳道球形异物如塑料子弹, 钢珠, 球形植物种子等, 非常难取, 特别是时间长易感染, 伴肉芽组织生长, 在下级医院未取出而损伤外耳道壁病例, 加之异物本身易滑, 易转动故而难取。陕西省汉中市人民医院耳鼻咽喉科自1989年6月~2008年10月利用自制外耳道异物钩共取出此类异物63例, 现报道如下。

1 资料与方法

1.1 临床资料

63例患者中, 男45例, 女18例; 年龄2~16岁, 平均8岁。尚未发现有双耳异物者。异物留存时间1d至5年, 其中曾有49例外院用耵聍钩未能取出。本组63例全部用自制的外耳道异物钩顺利取出。

1.2 外耳道异物钩的制作及手术方法

异物钩是在鼻腔异物钩的基础上自制的, 用口腔科0.5 mm钢丝做成前端椭圆形直径约6 mm, 略小于外耳道圆平面再向下弧形弯曲45~60度, 一般长度约3.5~4 cm, 并用不锈钢焊于枪状镊或用胶布固定于枪状镊上(图1)。外耳道异物一般与外耳道贴的较近, 先把异物推向较宽的骨部, 较松的可以直接取, 异物钩前端跨过异物到

后方, 轻抬异物钩柄使椭圆面紧卡住异物, 然后用力拉出, 速度要快否则再取患儿多不配合则须全麻。如遇时间长, 肉芽组织形成多则先清除肉芽组织充分暴露异物后再取。



图1 自制外耳道异物钩

2 结果

本组63例全部顺利取出, 其中全麻16例, 共取出钢珠9例, 塑料子弹54例。

3 讨论

外耳道异物取出较困难: ①外耳道自身狭小感觉神经丰富, 不宜反复钩取, 特别是学龄前儿童尤应注意。②异物呈球形易旋转滚动如有渗出时, 更为明显。③异物与外耳道壁几无缝隙用耵聍钩不但不易取出, 且易损伤外耳道只会越取越深, 久之感染形成肉芽包裹增加再取难度。

本科自制的外耳道异物钩通过 16 年的临床应用效果满意,无 1 例失败,制作简单,用“7”形耵聍钩取外表光滑的外耳道球形异物基本不能成功,用耵聍环取异物成功率明显增高。但球形异物在外耳道嵌顿时,商售耵聍有时难以进入异物深部,导致取异

物困难。另外,目前商售耵聍环购买困难,也使得耳鼻咽喉科医师在碰到外耳道球形异物时措手无策。笔者用牙科钢丝自制的异物环具有弹性好、紧贴外耳道皮肤容易进入异物深部、制作简单的优点,值得基层医院借鉴。

(修回日期:2011-07-01)

· 经验交流 ·

罕见乏脂耳廓血管平滑肌脂肪瘤 1 例并文献复习

佟明望,张延平

(解放军第 309 医院 耳鼻咽喉科,北京 100091)

关 键 词:乏脂;血管平滑肌脂肪瘤;耳廓;影像学检查

中图分类号:R739.61

文献标识码:C

文章编号:1007-1520(2011)04-0311-02

血管平滑肌脂肪瘤 (angiolipoma, AML) 是最常发生于肾脏的间叶肿瘤^[1], 其次为肝脏, 亦可发生于心脏、肺、纵膈、淋巴结、上腭、耳廓等肾外脏器, 但极少见, 超声检查、CT 和 MRI 等影像学检查对本病术前诊断提供依据。术后可经病理学明确诊断。我院收治 1 例乏脂耳廓 AML, 现报道如下。

1 临床资料

患者,男,26岁,因右耳廓无痛性包块 6 年余入院。查体见:右耳廓上缘见大小约 2 cm × 2 cm 圆形肿物, 表面皮肤完整, 呈暗红色, 质软, 无压痛, 活动度好, 与周围组织边界清楚。术前考虑为良性肿物, 表皮样囊肿或血管瘤可能性大。局麻下行手术切除, 术中见肿物与周围组织边界清楚, 分离肿瘤并完整切除, 术后病检示(右耳廓)血管平滑肌脂肪瘤。肿瘤组织主要由粗大畸型的厚壁血管及排列紊乱的平滑肌组成, 其间可见少量脂肪组织, 其脂肪组织在所有肿瘤组织中不足 10%。术后切口 I 期愈合, 随访 1 年无复发。

2 讨论

AML 是由不同含量的脂肪组织、平滑肌和异常血管组成的间叶源性肿瘤, 据文献报道^[2-5] 多见于肾脏、亦可发生于肝脏, 尚未见发生在耳廓的病例报道。以往认为 AML 是一种错构瘤, 最近研究认为其是一种真性肿瘤, 呈克隆性增生, 来源于原始潜能干细胞; 也有认为来自血管周围细胞者; 还有认为属迷芽瘤, 即正常细胞移位至异常位置而成^[6]。因耳廓含有血管、平滑肌及脂肪的组织类型, 故其具有发生血管平滑肌脂肪瘤的可能性。

国内曾见报道左颌下 AML1 例及本文所报耳廓 AML1 例, 均为发现无痛包块为临床表现。因其临床症状无特异性, 术前诊断主要依靠影像学检查^[7-10], 但超声检查较 CT、MRI 的特异性差。影像学检查具体表现取决于瘤体内血管、平滑肌和脂肪的比例。超声检查: 表现为边界清楚的肿块, 有 3 种回声构型, 典型强回声型: 肿块内脂肪含量高, 脂肪与周围组织间声阻差大, 其界面可产生强回声反射; 低或无回声型: 肿瘤主要由平滑肌构成, 或肿瘤有液化囊变, 故回声

作者简介:佟明望,女,住院医师。

通讯作者:张延平,Email:yzhan28@163.com.

弱甚至表现为无回声暗区；混合型：此型血管、平滑肌、脂肪含量相当，表现为既有强回声，又有低回声或无回声者^[11]。CT 检查为低密度或混合密度肿物，可检出脂肪成分，CT 值为负值，在 -20 HU 以下。如在脂肪成份中见到血管影，更具有诊断意义^[12]。MRI 对脂肪成份检出率较 CT 高，在 T1 WI 及 T2 WI 均呈高信号，特别是利用脂肪抑制相，呈低信号。

AML 术后可经病理学检查得到明确诊断。AML 的病理切片在光学显微镜下可见到 3 种成份：缺乏弹性膜的厚壁扭曲的血管，以血管为中心的杂乱排列的平滑肌，以及分化良好的脂肪组织。多数以脂肪成份为主，少数脂肪含量少或无脂肪，低于 20% 称乏脂 AML。本例术后病理切片（图 1）可见以平滑肌为主，脂肪成份不足 10%，故为乏脂 AML。

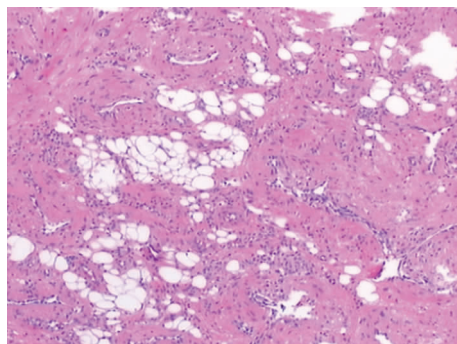


图 1 肿瘤组织可见平滑肌和少量脂肪组织 (HE 染色, $\times 400$)

本病例术前诊断为良性肿瘤，因肿物范围局限，并且乏脂耳廓 AML 罕见，故忽略了其术前超声检查、CT 及 MRI 等影像学检查，术后经病理诊断后明确。外科手术切除为首选治疗方案，术后不易复发。通过对本病例的介绍及相关文献复习，旨在提高对血

管平滑肌脂肪瘤的认识，及进一步重视影像学检查在耳廓 AML 术前诊断中的重要意义，提高对该病的术前诊断水平。

参考文献：

- [1] Amie AM, Zeebregts CI, Mulder HJ, et al. Anterior mediastinal presentation of a giant angiomyolipoma [J]. Ann Thorac Surg, 2004, 78(6): 2161–2163.
- [2] 杨秀萍, 潘华雄, 郭涛, 等. 肾上皮样血管平滑肌脂肪瘤 3 例临床病理观察 [J]. 临床泌尿外科杂志, 2008, 23(9): 687–689.
- [3] 张晖, 杨培权. 肝脏不典型血管瘤影像学误诊原因分析 [J]. 临床误诊误治, 2008, 21(12): 43–45.
- [4] 易常春, 林陆. 肾血管平滑肌脂肪瘤的 CT 表现 [J]. 医学影像学杂志, 2009, 19(3): 370–371.
- [5] 刘争进, 殷平, 洪东旭, 等. 肝脏上皮样血管平滑肌脂肪瘤 1 例及文献复习 [J]. 中国肿瘤临床, 2008, 35(13): 775–776.
- [6] Torigian DA, Kaiser LR, Soma LA, et al. Symptomatic dysrhythmia caused by a posterior mediastinal angiomyolipoma. Am J Roentgenol, 2002, 178(1): 93–96.
- [7] 王勤. 肾血管平滑肌脂肪瘤影像学诊断 [J]. 中国医学影像技术, 2008, 24(12): 2033–2035.
- [8] 谭晔, 王向阳, 王蕊, 等. 肝血管平滑肌脂肪瘤的 CT 及 MRI 表现 [J]. 医学影像学杂志, 2008, 18(6): 622–625.
- [9] 张军, 刘江, 夏鼎, 等. 肾血管平滑肌脂肪瘤的 CT 诊断 [J]. 实用医技杂志, 2008, 15(21): 2775–2778.
- [10] 吕志军, 李伟大, 王煜喧, 等. 肝脏血管平滑肌脂肪瘤的 CT 特征 [J]. 放射学实践, 2008, 23(12): 1329–1331.
- [11] 李雅冬, 杨凯, 张劲松, 等. 左颌下血管平滑肌脂肪瘤 1 例 [J]. 山西医科大学学报, 2009, 40(8): 764.
- [12] 严福华, 曾蒙苏, 周康荣, 等. 肝血管平滑肌脂肪瘤的 CT 及 MRI 征象分析 [J]. 中华放射学杂志, 2001, 35(11): 821–825.

(修回日期: 2011-05-16)